

# طراحی بهینه، ساخت و آزمون محفظه‌ی کمپرسور جریان شعاعی

محمد هجمد<sup>\*</sup> (استادیار)

دانشکده‌ی مهندسی مکانیک و افزایی، دانشگاه شهید بهشتی

علی حاجی‌بیوی بنی‌سی (استاد)

دانشکده‌ی مهندسی مکانیک، دانشگاه صنعتی شریف

مهمنگی مکانیک شرف، (تیر ۱۳۹۶) ۱۷-۲۸، شماره ۱، ص ۳۳-۳۵، دوری ۳

محفظه یکی از اجزای اصلی کمپرسور جریان شعاعی است و نقش آن جمع‌آوری و تحويل جریان به تجهیزات پس از کمپرسور است. طراحی محفظه، بر نسبت فشار، بازده و محدوده عملکرد پایدار کمپرسور تاثیر مستقیم و قابل توجهی دارد. محفظه می‌تواند باعث ایجاد ناهمگونی فشار در اجزای بالادست خود شود که منجر به ایجاد یک نیروی خالص بر محور پروانه می‌شود. در پژوهش حاضر، براساس سناسایی اصول طراحی و پارامترهای مؤثر بر عملکرد محفظه، یک روش طراحی بهینه ارائه می‌شود. سپس با استفاده از ابزار دینامیک سیالات محاسباتی، مقادیر بهینه‌ی پارامترها که منجر به افزایش نسبت فشار سکون، افزایش بازیابی فشار استاتیک، کاهش افت فشار سکون و نیز کاهش نیروی خالص شعاعی در محفظه می‌شوند، سناسایی خواهد شد. مدل‌های مختلف در نقطه‌ی طراحی و نقاط خارج طرح ارزیابی و طرح بهینه با اضافه کردن ملاحظات مربوط به زبانه و مخروط خروجی ساخته می‌شود و روی بستر آزمون نصب و نتایج عملکردی آن استخراج خواهد شد. نتایج نشان می‌دهد، در نقطه‌ی طراحی حدود ۴۰ درصد تغییر در مساحت خروجی، منجر به ۱۴ درصد تغییر در ضربیت بازیابی فشار، و ۱۸ درصد تغییر در افت فشار می‌شود؛ در حالی که نیروی محوری را تا دو برابر تغییر می‌دهد. نتایج آزمون کمپرسور با محفظه‌ی جدید که در اعتبارسنجی نتایج عددی کاربرد دارد، نشان می‌دهد که در سرعت دورانی ۷۰ هزار دوربردقيقة، ۲/۵ درصد نسبت فشار و ۱/۹ درصد بازده آیزنترپیک کمپرسور افزایش یافته است که بهبود حائز اهمیتی است.

**واژگان کلیدی:** کمپرسور جریان شعاعی، محفظه، نسبت فشار، بازده آیزنترپیک، گردابه‌ی آزاد، فشار غیریکنواخت پیرامونی.

## ۱. مقدمه

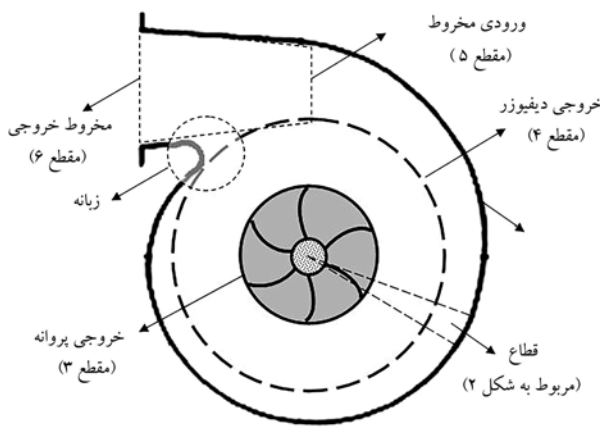
به ویژه در کمپرسورهایی که دیفیوزر بدون تیغه دارند، بر جریان بالادست اثر می‌گذارد و در نتیجه میدان جریان در دیفیوزر، پروانه و ورودی پروانه نیز تغییر خواهد کرد.<sup>[۱]</sup> عملکرد یک محفظه به طور عمدۀ متاثر از پنج پارامتر هندسی شامل مساحت سطح مقطع پیرامونی، شکل سطح مقطع، مکان قرارگیری سطح مقطع (شعاع متوسط آن)، هندسه‌ی ورودی محفظه و هندسه‌ی زبانه محفظه است.<sup>[۲]</sup>

تحقیقین نشان داده‌اند که جریان درون محفظه به شدت سه بعدی است و مدل‌های یک بعدی و دو بعدی قادر به پیش‌بینی دقیق رفتار جریان نیستند<sup>[۳][۴]</sup> و از این مدل‌ها، می‌توان برای بازتولید و اعتبارسنجی نتایج تجربی پیشین استفاده کرد. توسعه‌ی تکنولوژی‌های اندازه‌گیری بهمنظور اندازه‌گیری دقیق رفتار جریان درون محفظه، محدود و هزینه‌بر خواهد بود که دلیل آن را می‌توان هندسه‌ی پیچیده‌ی محفظه و شدت چرخش زیاد جریان دانست.<sup>[۵]</sup> با این حال استفاده از تکنیک‌های دینامیک سیالات محاسباتی<sup>۲</sup> و مدل‌سازی سه بعدی جریان، امکان

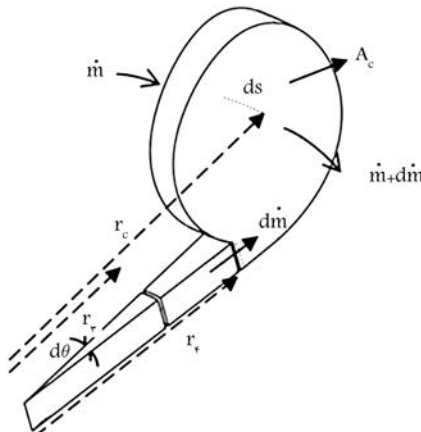
با توسعه‌ی صنایع مختلف، فناوری فشرده‌سازی سیال با استفاده از کمپرسورها، پیشرفت روزافزونی داشته است. در این توسعه‌ی فناوری، کمپرسورهای جریان شعاعی که کاربرد آن‌ها در دبی‌های کم و فضاهای محدود، بر کمپرسورهای محوری ترجیح دارد، جایگاه خود را حفظ کرده‌اند و کاربرد گستردگی‌بی دارند. بهبود عملکرد این کمپرسورها در کنار گسترش محدوده‌ی عملکردی، نیازمند طراحی بهینه‌ی اجزای آن‌ها براساس بررسی دقیق جریان با در نظر گرفتن پیچیدگی‌های است. تاکنون مطالعات عددی و تجربی زیادی روی پروانه‌ی کمپرسور و دیفیوزر آن صورت گرفته است. با این حال مطالعه‌ی طراحی محفظه<sup>۱</sup> و پیش‌بینی رفتار جریان درون آن، کمتر مورد توجه قرار گرفته است.<sup>[۶]</sup> که از دلایل آن می‌توان هندسه‌ی پیچیده‌ی محفوظه، جریان کاملاً سه بعدی، به شدت آشفته و ناپایای درون آن را بر شمرد. رفتار جریان در محفظه،

\* نویسنده مسئول

تاریخ: دریافت ۱۰ مرداد ۱۳۹۴، اصلاحیه ۱۱، پذیرش ۱۶ اردیبهشت ۱۳۹۴.



شکل ۱. طرح واره محفظه.



شکل ۲. قطاع محفظه.

استاتیک سیال است. همچنین در قسمت اتصال این دو ناحیه «زبانه<sup>۶</sup>» قرار دارد. طراحی محفظه، به منظور یافتن پارامترهای هندسی محفظه — شامل: تغییرات سطح مقطع به شعاع متوسط برحسب زاویه پیرامونی، ابعاد مخروط خروجی و مواردی از قبیل شکل زبانه — است. با این حال براساس مدل‌های موجود، تنها می‌توان پارامترهای محدودی را تعیین کرد و سایر پارامترها براساس مطالعات پارامتری، تجربیات طراحان، بهینه‌سازی تعدادی پارامتر هندسی براساس عملکرد و محدودیت‌های ساخت، برای یک کمپرسور با کاربرد مشخص قابل تعیین خواهد بود. در ادامه، اصول طراحی حلقه‌نی محفظه بررسی می‌شود و سپس ملاحظات طراحی مخروط خروجی و ناحیه‌ی زبانه در بخش مدل‌سازی مورد توجه قرار می‌گیرد. جریان خروجی از بروانه، سرعت مطلق زیادی دارد و معمولاً با راستی شعاعی زاویه‌ی زیادی دارد؛ پس لازم است از سرعت این جریان کاسته شود تا کمپرسور افزایش فشار و بازده مطلوبی داشته باشد. این وظیفه به عهده‌ی دیفیوزر است. از آنجا که جریان خروجی بسیار غیریکنواخت است، دیفیوزر می‌بایست با درنظر گرفتن تغییرات سرعت در راستای محوری و شعاعی طراحی شود. پس از دیفیوزر محفظه قرار دارد که برای جمع‌کردن جریان و در مواردی برای بازیابی بیشینه فشار طراحی می‌شود.

از آنجا که سرعت‌ها در محفظه کمتر از سرعت جریان در اجزای بالا دست آن است، معمولاً از اثرات اصطکاکی در طراحی اولیه صرف نظر می‌شود. چنانچه قطاعی از محفظه (شکل ۲) در نظر گرفته شود (موقعیت آن در شکل ۱ نشان داده

بررسی ساختار جریان و تأثیر پارامترهای مختلف بر عملکرد محفظه را فراهم می‌آورد.

ایدر و همکاران<sup>۷</sup> به صورت عددی و تجربی، جریان را در محفظه‌ی با مقاطع بیضی شکل مورد مطالعه قرار دادند. براموش و همکاران<sup>۸</sup> نیز کار مشابهی روی محفظه با مقاطع مستطیلی انجام دادند. دای و همکاران<sup>۹</sup> اثر سطح مقاطع را با بررسی دو محفظه با دو اندازه متفاوت بررسی کردند و نشان دادند که اگرچه عملکرد کل کمپرسور متفاوت خواهد بود ولی عملکرد پروانه تغییر چندانی ندارد. تأثیر اندازه‌ی ورودی محفظه توسط کیم و همکاران بررسی، و به عنوان یکی از پارامترهای مؤثر معروفی شد.<sup>۱۰</sup>

اثر زبانه‌ی محفظه مورد توجه ژو و مولر قرار گرفت و روشی برای بهبود آن ارائه شد.<sup>۱۱</sup>

کیانگ و همکاران پارامترهای هندسی مخفی مختلف را بررسی کردند و نشان دادند که شعاع متوسط مقاطع پیرامونی، بیشترین تأثیر را بر عملکرد محفظه دارد.<sup>۱۲</sup> عالمی و همکاران اثر طراحی با استفاده از مدل سرعت ثابت و اندازه حرکت زاویه‌ی ثابت را برای یک پمپ جریان شعاعی مورد بررسی قرار دادند و نشان دادند در حالت سرعت ثابت عملکرد بهتر است.<sup>۱۳</sup> مجدم و همکاران نیز نشان دادند که تأثیر شکل مقاطع ناچیز است، با این وجود محفظه‌های خارجی عملکردی بهتر از محفظه‌های داخلی دارند.<sup>۱۴</sup>

مروری بر پژوهش‌های انجام شده نشان می‌دهد، تأکید این تحقیقات پیشین بر پیش‌بینی عملکرد محفظه با بررسی اثر تغییرات پارامترهای هندسی است. لذا اشاره به اصول طراحی محفظه در این پژوهش‌ها، پراکنده و براساس نوع محفظه‌های مورد بررسی به شکل موردی بیان شده است. بنابراین نیاز به جمع‌بندی این اصول، برای بهکارگیری در طراحی اولیه محفظه ضروری به نظر می‌رسد. در پژوهش حاضر، سعی شده است ملاحظات طراحی اجزای مختلف محفظه به طور مستقل معرفی شود و سپس با استفاده از آن‌ها، مدلی برای طراحی محفظه معرفی می‌شود که پارامترهای آن با استفاده از مدل‌سازی محفظه بهینه می‌شود. مدل اولیه با استفاده از نتایج تجربی یک کمپرسور جریان شعاعی مربوط به یک توربوشارژر آزمون در آزمایشگاه توربوشارژر دانشگاه صنعتی شریف اعتبارسنجی می‌شود. بر این اساس نمونه‌ی بهینه ساخته، و بر بستر آزمون نصب می‌شود. نتایج عملکردی کمپرسور با محفظه‌ی جدید استخراج، و با نتایج اولیه مقایسه می‌شود. نتایج نشان می‌دهد انتخاب بهینه‌ی پارامترهای طراحی محفظه موجب بهبود نسبت فشار و بازده کمپرسور خواهد شد. گفتنی است اصول طراحی محفظه در تحقیق دیگری از همین نویسنده‌گان ارائه شده است.<sup>۱۵</sup> اما بخش‌های ۲ و ۳ برای ایجاد یک منبع فارسی در زمینه‌ی اصول طراحی محفظه در این نوشتار نیز ارائه می‌شود.

## ۲. اصول طراحی محفظه

در خروجی کمپرسور گریز از مرکز، از جمع‌کننده<sup>۳</sup> یا محفظه استفاده می‌شود، جمع‌کننده مقاطع پیرامونی ثابتی دارد در حالی که محفظه دارای شکل حلقه‌نی<sup>۴</sup> است و اندازه مقاطع پیرامونی آن در جهت چرخش محور افزایش می‌باید. در شکل ۱ طرح واره محفظه یک کمپرسور گریز از مرکز نشان داده شده است. مشاهده می‌شود که یک محفظه از دو ناحیه‌ی اصلی تشکیل شده است.

ناحیه‌ی اول فضای بین سطح خروجی دیفیوزر (مقاطع ۴)، دیواره و بیشینه مقاطع محفظه (مقاطع ۵) است که حلقه‌نی نامیده می‌شود؛ ناحیه دوم نیز فضای میان مقاطع ۵ و ۶ است که مخروط خروجی<sup>۵</sup> نامیده می‌شود و وظیفه آن بازیابی بیشینه فشار

لازم به ذکر است از بین حالت‌های مختلفی که برای پیش‌بینی سرعت مماسی جریان در محفظه ایجاد می‌شود، مدل گردابی آزاد، به دلیل کاربرد در طراحی دیفیوزر بدون تیغه نیز بیشتر در ادبیات طراحی محفظه کمپرسور مورد استفاده قرار گرفته است.<sup>[۱۷]</sup>

### ۳. طراحی حلزونی محفظه

با استفاده از مدل‌های موجود برای پیش‌بینی سرعت مماسی (شامل مدل استپانف، پفلایدر و گردابی آزاد)، چنانچه سرعت مماسی،  $C_{\theta c}$ ، در رابطهٔ ۴ استفاده شود، می‌توان در زوایای مختلف پارامتر هندسی  $A_c/r_c$  را برای حلزونی به دست آورد. برای این محاسبه لازم است فرضیاتی برای مقدار چگالی در هر مقطع،  $\rho_c$ ، لحاظ شود. در ادامه دو مدل چگالی ثابت و چگالی متغیر و تأثیر این فرضیات بر رابطهٔ ۴ و نهایی‌سازی هندسه محفظه مورد بررسی قرار می‌گیرد.

#### ۳.۱. مدل چگالی ثابت

از آنجاکه اختلاف سرعت در خروجی دیفیوزر و مقطع محفظه به ترتیب در شعاع‌های  $r_c$  و  $r_c + \Delta r$  نسبت به مقدار سرعت ناچیز است، از فرض  $1/\rho_c = \rho_c/\rho_c$  استفاده می‌شود. با چنین فرضی، رابطهٔ ۴ چنین خلاصه می‌شود:

$$d(C_{\theta c} A_c) = C_{r c} b_r r_c d\theta \quad (7)$$

با استفاده از رابطهٔ ۷ مساحت مقطع در زوایای پیرامونی مختلف،  $A_c(\theta)$ ، در صورت داشتن سرعت مماسی خروجی از دیفیوزر به دست می‌آید. با استفاده از مدل استپانف و جایگذاری رابطهٔ ۵ در رابطهٔ ۷ و انتگرال‌گیری از  $0$  تا  $2\pi$ ، سطح مقطع خروجی محفظه،  $A_{c,2\pi}(\theta)$  نیز قابل محاسبه است.

$$A_{c,2\pi} = 2\pi \frac{C_{r c}}{C_{\theta c,2\pi}} b_r r_c \quad (8)$$

که در آن،  $C_{\theta c,2\pi}$  سرعت مماسی در خروجی حلزونی است. با استفاده از مدل پفلایدر نیز به طور مشابه، چنانچه رابطهٔ ۶ در رابطهٔ ۴ جایگذاری شود ( $\rho_c = const.$ )، خواهیم داشت:

$$\begin{aligned} \left( \frac{d}{ds} \left( \rho_c A_c \frac{r_c^m C_{\theta c}}{r_c^m} \right) \right) r_c d\theta &= \rho_c C_{r c} b_r r_c d\theta \\ \Rightarrow d \left( \frac{A_c}{r_c^m} \right) &= \frac{\rho_c}{\rho_c} \frac{C_{r c}}{C_{\theta c}} \frac{b_r}{r_c} r_c^{1-m} (r_c d\theta) \end{aligned} \quad (9)$$

$$d \left( \frac{A_c}{r_c^m} \right) = \frac{\rho_c}{\rho_c} \frac{C_{r c}}{C_{\theta c}} b_r r_c^{1-m} d\theta \quad (10)$$

این رابطه نشان می‌دهد که چگونه یک مشخصهٔ هندسی،  $A_c/r_c^m$ ، می‌باشد در پیرامون محفظه تعییر کند تا مقدار  $r_c^m C_{\theta c}$  ثابت بماند. با انتگرال‌گیری پیرامون محفظه خواهیم داشت:

$$\frac{A_c}{r_c^m} = \frac{C_{r c}}{C_{\theta c}} b_r r_c^{1-m} \theta \quad (11)$$

این رابطه نشان می‌دهد که متغیر اساسی در طراحی محفظه معادل  $C_{r c}/C_{\theta c}$  است که زاویه‌ی جریان در خروجی دیفیوزر است و برای یک مقدار مشخص، تعییرات مساحت با انتخاب  $r_c$  مناسب به دست خواهد آمد.

شده است)، قانون بقای جرم برای این المان عبارت خواهد بود از:

$$\left( \frac{dm}{ds} \right) ds = \rho_c C_{r c} b_r r_c d\theta \quad (1)$$

که در آن تعییرات جرم در راستای پیرامونی در طرف چپ تساوی و در طرف دیگر، دبی جرمی ورودی در راستای شعاعی قرار دارد و در آن  $d\theta = r_c ds$  شاعع قرارگیری مرکز سطح مقطع است. از طرفی برای دبی جرمی خواهیم داشت:

$$\dot{m} = \int \rho C_\theta dA \quad (2)$$

چنانچه از تعییرات سرعت و چگالی در هر مقطع صرف نظر شود و به ترتیب از مقادیر متوسط  $C_{\theta c}$  و  $\rho_c$  استفاده شود، رابطهٔ ۲ چنین بازنویسی می‌شود:

$$\int \rho C_\theta dA = \rho_c C_{\theta c} A_c \quad (3)$$

که در آن،  $A_c$  مساحت مقطع در زاویهٔ پیرامونی  $\theta$  است. با جایگذاری در رابطهٔ ۱ خواهیم داشت:

$$\left( \frac{d(\rho_c C_{\theta c} A_c)}{ds} \right) r_c d\theta = \rho_c C_{r c} b_r r_c d\theta \quad (4)$$

مقادیری نامعلوم‌اند و چنانچه شکل مقطع محفظه تعیین شود، مقدار  $C_{\theta c}$  وابسته به مقدار  $A_c$  خواهد بود؛ در نتیجه می‌توان دو پارامتر  $A_c/r_c$  و  $C_{\theta c}$  را به عنوان مقادیر نامعلوم در نظر گرفت. با این فرض، به یک رابطهٔ دیگر برای تعیین این پارامترها احتیاج است. بنابراین چنانچه  $C_{\theta c}$  تعیین شود، می‌توان مقدار  $A_c/r_c$  را در زوایای پیرامونی مختلف به دست آورد.

دو مدل پایه برای پیش‌بینی سرعت مماسی وجود دارد. این دو مدل در واقع از طراحی محفظه پیش‌بینی شعاعی استخراج شده و پس از آن برای کمپرسورهای گریز از مرکز توسعه داده شده‌اند.

#### ۳.۲. مدل استپانف

این مدل بر مبنای ثابت در نظر گرفتن مؤلفه‌های مماسی سرعت در محفظه پیش‌بینی شعاعی ارائه شده است.<sup>[۱۵]</sup> در این مدل یک ضریب تجربی برای محاسبهٔ مقدار سرعت مماسی ارائه شده است.

$$C_\theta = const. = K_s \sqrt{2gH} \quad (5)$$

$K_s$  به عنوان ثابت تجربی پیشنهاد و رابطهٔ بی خطی برای یافتن در آن در هد پیش‌بینی ارائه شده است.<sup>[۱۶]</sup>

#### ۳.۲. مدل پفلایدر

این مدل براساس رابطهٔ ۶ تعریف شده است:

$$r^m C_\theta = cte \quad (6)$$

که در آن،  $1 \leq m \leq 2$  است. چنان که ملاحظه می‌شود، اگر در این مدل باشد، مشابه مدل استپانف است و در صورتی که  $m = 1$  مدل گردابی آزاد خواهد شد؛ بدین معنا که جریان در خروج از دیفیوزر، مسیر گردابی آزاد را طی خواهد کرد.<sup>[۱۵]</sup>

$$d \left( \rho_c(\theta) \frac{A_c}{r_c^m} \right) = \rho_c C_{\theta^*} b_{\theta^*} r_{\theta^*}^{1-m} d\theta \quad (12)$$

چنانچه این رابطه بر حسب عدد ماخ و روابط فرایند آیزنتروپیک بازنویسی شود، خواهیم داشت:

$$P_{c*} = P_{\theta^*} \left[ (1 - \eta_i) \frac{(\gamma - 1)}{\gamma} M_{\theta^*} + 1 \right]^{\frac{1}{\gamma-1}} \quad (17)$$

اگر از فرض تغییرات خطی ماخ پیرامونی از ورود تا خروج برای رسیدن به مقدار مشخصی از عدد ماخ در خروجی،  $M_{\theta^*}$  استفاده شود:

$$M_c = M_{\theta^*} - \frac{\theta}{2\pi} (M_{\theta^*} - M_{\theta}) \quad (18)$$

که در آن فرض شده است اثر تغییرات چگالی می‌تواند منجر به تغییرات سرعت و ماخ پیرامونی شود. با جایگذاری دو رابطه‌ی اخیر در رابطه‌ی ۱۵، یک معادله‌ی دیفرانسیل مرتبه اول برای به دست آوردن مقدار  $A_c / r_c^m$  در زوایای پیرامونی مختلف حاصل می‌شود (رابطه ۱۹).

$$\begin{aligned} d \left( \left( 1 + \frac{\gamma-1}{2} \left[ M_{\theta^*} - \frac{\theta}{2\pi} (M_{\theta^*} - M_{\theta}) \right] \right)^{-\frac{1}{\gamma-1}} \frac{A_c}{r_c^m} \right) \\ = \frac{(1 + \frac{\gamma-1}{\gamma} M_{\theta^*})^{-\frac{1}{\gamma-1}}}{[(1 - \eta_i) \frac{(\gamma-1)}{\gamma} M_{\theta^*} + 1]^{\frac{1}{\gamma-1}}} \frac{C_{\theta^*} b_{\theta^*} r_{\theta^*}^{1-m} d\theta}{C_{\theta^*}} \end{aligned} \quad (19)$$

با استفاده از مدل پلايدر برای پیش‌بینی سرعت ماسی خروجی از دیفیوزر با  $m = 1$ ، با فرض  $M_{\theta^*} = M_{\theta}$ ، در بازده  $\eta_i = 1$ ، مساحت خروجی محفظه ۱/۱ درصد نسبت به مساحت خروجی در بازده  $\eta_i = 0.9$ ، کوچک‌تر خواهد بود. با در نظر گرفتن تأثیر نسبت  $M_{\theta}/M_{\theta^*}$  در مدل پلايدر برای  $m = 1$ ، تغییرات چگالی و فشار به‌گونه‌یی است که در  $0.8/M_{\theta^*}$ ، با افزایش چگالی پیرامونی محفظه، مساحت محفظه  $2/8$  درصد کوچک‌تر خواهد شد. این مقدار برای مدل پلايدر با  $m = 0.5$  برابر  $2/7$  درصد است. این بررسی نشان می‌دهد که فرض ثابت بودن چگالی پیرامونی، در محدوده‌ی اعداد ماخ این مسئله، فرض مناسبی است و می‌توان در طراحی اولیه‌ی محفظه از آن بهره‌گرفت.

### ۳.۳. در نظرگرفتن تلفات

در طراحی محفظه در حالت یک بعدی، از بسیاری از پارامترها مانند عدم یکنواختی جریان پیرامونی، اثراً لزجت سیال و جریان‌های ثانویه صرف نظر می‌شود. راه حل مناسب برای در نظرگرفتن این اثراً، استفاده از پارامتر اندازه،  $SP$ ، است که مطابق رابطه‌ی ۲۰ در فرایند طراحی محفوظه وارد می‌شود. این پارامتر حاصل تنتیم مساحت محفوظه‌ی واقعی به مساحتی است که از مدل اندازه حرکت زاویه‌یی ثابت به دست می‌آید:

$$\left( \frac{d(\rho_c C_{\theta^*} A_c)}{ds} \right) r_c d\theta = SP \rho_c C_{\theta^*} b_{\theta^*} r_{\theta^*} d\theta \quad (20)$$

انتخاب  $SP$ ، معمولاً در محدوده‌ی ۱ تا ۱/۲ است و برای محفوظه‌هایی که پس از دیفیوزر بدون تیغه قرار می‌گیرند از مقادیر بزرگ‌تری استفاده می‌شود. در برخی مراجع به جای استفاده از این ضربی، از ضربی تصحیح در مدل گردابی آزاد،  $S$ ، که انحراف از حالت ایده‌آل را نشان می‌دهد و مقدار آن عکس مقدار  $SP$  است، به صورت رابطه‌ی ۲۱ استفاده می‌شود:

$$r_c C_{\theta^*} = S r_{\theta^*} C_{\theta^*} \Rightarrow \frac{A_c}{r_c} = \frac{C_{\theta^*}}{S C_{\theta^*}} b_{\theta^*} \theta \quad (21)$$

اگر تغییرات پیرامونی چگالی را تابعی از زاویه‌ی پیرامونی در نظر بگیریم، رابطه‌ی ۱۰ عبارت خواهد بود از:

$$d \left( \rho_c(\theta) \frac{A_c}{r_c^m} \right) = \rho_c C_{\theta^*} b_{\theta^*} r_{\theta^*}^{1-m} d\theta \quad (12)$$

چنانچه چگالی،  $P/RT = \rho$ ، در خروجی دیفیوزر و مقطع محفوظه با استفاده از روابط دما و فشار سکون، مطابق رابطه‌ی ۱۳ و ۱۴ جایگذاری شود:

$$\frac{T_c}{T} = 1 + \frac{k-1}{2} M^* \quad (13)$$

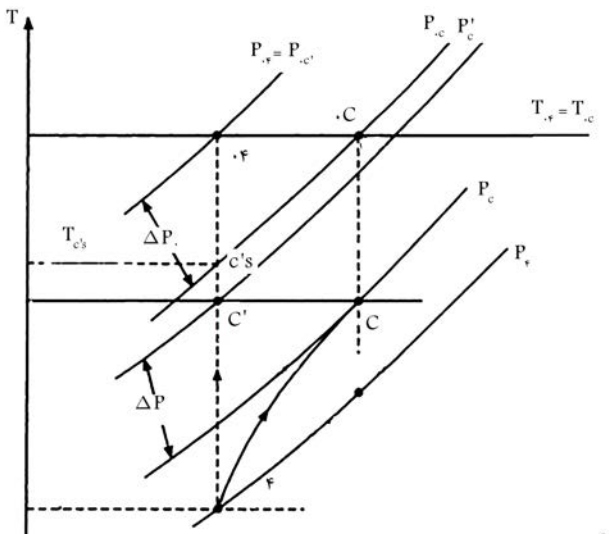
$$\frac{P_c}{P} = \left( 1 + \frac{k-1}{2} M^* \right)^{\frac{k}{k-1}} \quad (14)$$

که در آن هواگاز کامل فرض شده، و نیز با فرض ثابت بودن دمای سکون در محفظه خواهیم داشت:

$$\begin{aligned} d \left( P_{c*} \left( 1 + \frac{\gamma-1}{2} M_{\theta^*} \right)^{-\frac{1}{\gamma-1}} \frac{A_c}{r_c^m} \right) \\ = P_{c*} \left( 1 + \frac{\gamma-1}{2} M_{\theta^*} \right)^{-\frac{1}{\gamma-1}} \frac{C_{\theta^*} b_{\theta^*} r_{\theta^*}^{1-m} d\theta}{C_{\theta^*}} \end{aligned} \quad (15)$$

در طرف چپ این معادله‌ی دیفرانسیل، چنانچه مقادیر  $M_c$  و  $P_{c*}$  بر حسب جایگذاری شوند، معادله را می‌توان برای محاسبه‌ی  $A_c / r_c^m$  حل کرد. مقدار فشار سکون در هر مقطع،  $P_{c*}$ ، با استفاده از تعریف بازده آیزنتروپیک دیفیوزر مطابق نمودار استخراج می‌شود (شکل ۳). حال برای به دست آوردن مقدار فشار کل در هر مقطع، می‌توان از راندمان آیزنتروپیک برای یک فرایند دیفیوزن مطابق شکل ۳ و رابطه‌ی ۱۳ بهره‌گرفت. نمودار یک فرایند دیفیوزن را از ورودی محفوظه، مقطع ۴، تا هر مقطع پیرامونی که با  $c$  بیان شده است نشان می‌دهد؛ بازده آیزنتروپیک آن نیز با استفاده از رابطه‌ی ۱۶ تعریف می‌شود:

$$\eta_i = \frac{h'_{cs} - h_{\theta^*}}{h_{c*} - h_{\theta^*}} = \frac{T'_{cs} - T_{\theta^*}}{T_{c*} - T_{\theta^*}} \quad (16)$$



شکل ۳. فرایند واقعی (۴ - c) و آیزنتروپیک (۴' - c') تراکم روی نمودار T-S.

برای مقایسه مدل‌های مختلف، عملکرد کمپرسور با محفظه‌های مختلف روی مجموعه‌ی ثابتی از مجرای ورودی، پروانه و دیفیوزر مقایسه می‌شود. مشخصات پروانه کمپرسور مورد بررسی مطابق جدول ۲ است.

#### ۴. مدل‌سازی

**۴.۱. ایجاد شبکه**

تولید شبکه<sup>۷</sup> محاسباتی مناسب، یکی از مهم‌ترین و زمان‌برترین بخش‌های مدل‌سازی عددی محسوب می‌شود. همچنین نوع شبکه و تقسیم مناسب نواحی به نواحی ریزتر برای تولید شبکه بهتر، از اهمیت خاصی برخوردار است. چنانچه هندسه‌ی مسئله به دو قسمت دور و ثابت تقسیم‌بندی شود، ایجاد شبکه‌ی سازمان یافته<sup>۸</sup> برای قسمت‌های دور زمان رسیدن به همگرایی را به طور قابل توجهی کاهش می‌دهد. در این مدل‌سازی از شبکه‌بندی سازمان یافته برای پروانه استفاده می‌شود. برای محافظه‌ی با توجه به پیچیدگی هندسی آن، از شبکه‌ی بی‌سازمان<sup>۹</sup> چهارچهی استفاده می‌شود. تعداد المان‌های شبکه، بسته به نتایج مورد نیاز تنظیم می‌شود، به طوری که برای استخراج نتایج عملکردی، شبکه‌بندی بزرگ‌تر شرط استقلال از شبکه‌بندی<sup>۱۰</sup> را ارضاء می‌کند و برای طالعه‌ی میدان جریان، شبکه‌بندی ریزتر لازم است.<sup>[۱۶]</sup>

حدود سه میلیون شبکه محاسباتی (شامل حدود ۳۰۰ هزار شبکه محاسباتی برای هر مجرای پروانه و ۱/۲ میلیون برای اجزای ثابت)، برای پیش‌بینی رفتار عملکردی کمپرسور مناسب است. برای بررسی میدان جریان، از حدود ۲۵۰ هزار شبکه محاسباتی برای یک کانال جریان— شامل ورودی، پروانه و دیفیوزر— استفاده می‌شود. حدود سه میلیون شبکه محاسباتی برای محفظه استفاده می‌شود. در این حالت محفظه جدا از دیفیوزر مدل می‌شود. برای اجتناب از تأثیر خطای عددی در سطح تماش<sup>۱۱</sup> بین ورودی محفظه و خروجی دیفیوزر بر جریان محفظه، در صد انتها‌یی هندسه‌ی دیفیوزر جزو هندسه‌ی محفظه در نظر گرفته می‌شود. نمونه‌ی شبکه‌بندی پروانه و محفظه مطابق شکل ۵ است.

#### ۲. مدل‌سازی جریان

حل میدان جریان در پروانه، دیفیوزر بدون تیغه و محفظه با استفاده از مدل سه‌بعدی و به روش حجم محدود بر معادلات ناویر-استوکس میانگین‌گیری شده‌ی رینولدز<sup>۱۲</sup> صورت می‌گیرد. تنش‌های رینولدز در معادلات انتقال با استفاده از مدل توربولانسی اس‌اس‌تی<sup>۱۳</sup> حل می‌شود. لازم به ذکر است حل مسئله با استفاده از مدل  $\epsilon - k - \omega$  در صد انتها‌یی هندسه‌ی دیفیوزر جزو هندسه‌ی محفظه در نظر گرفته می‌شود. نمونه‌ی گزارش‌شده در محفظه قابل اعتماد است؛ بهمین دلیل از مدل اس‌اس‌تی که در

جدول ۲. مشخصات ابعادی کمپرسور

مقادیر	پارامتر
۶	تعداد پره‌ها
۶	تعداد نیمپره
۶۰ درجه	زاویه‌ی ورودی (نسبت به راستای محوری)
۳۰ درجه	زاویه‌ی خروجی (نسبت به راستای شعاعی)
۵۴ میلی‌متر/۲۲ میلی‌متر	قطر نوک/ریشه در ورودی
۸۲ میلی‌متر	قطر خروجی پروانه
۵/۵ میلی‌متر	عرض پره در خروجی

که با فرض مقدار  $S$ ، می‌توان مقدار  $A/r$  را برای محاسبه‌ی هندسه پیامونی به دست آورد.

#### ۴.۳. استخراج ابعاد حلزونی

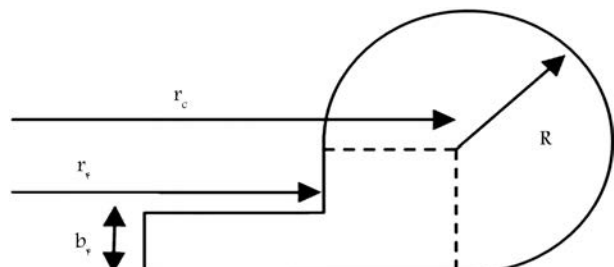
از میان حالت‌های مختلفی که برای پیش‌بینی سرعت مماسی جریان ورودی و همچنین محاسبه‌ی پارامترهای هندسی مقطع ارائه شد، مقدار مساحت مقطع  $A_c$  یا  $A_c/r_c^m$ ، در زوایای پیامونی مختلف، با استفاده از روابط ۱۹، ۱۱ و ۲۱ به ترتیب برای مدل چگالی ثابت، مدل چگالی متغیر و مدل گردابه آزاد با درنظر گرفتن تلفات قابل محاسبه است. بنابراین با انتخاب شکل مناسب برای مقطع حلزونی، هندسه‌ی کامل حلزونی قابل استخراج است. در این پژوهش از مقطع دایره‌بی مطابق شکل ۴ استفاده شده است.

با انتخاب این مقطع، نسبت  $A_c/r_c$  از رابطه‌ی ۲۲ قابل محاسبه خواهد بود و با استفاده از روابط ذکر شده، مقدار  $R$  در تمام زوایای پیامونی تعیین می‌شود:

$$(22) \quad \frac{A_c}{r_c} = \frac{R^*(1 + 3\pi/4)}{r_c + R(1 - 1/9\pi)}$$

انتخاب شکل مقطع محفظه به عوامل مختلفی بستگی دارد که مهم‌ترین آن بحث‌های مرتبه به روش ساخت آن است. با این حال شکل دایره‌بی در مطالعات مختلفی مورد استفاده قرار گرفته و به عملکرد بهتر آن نسبت به هندسه‌های دیگر اشاره شده است.<sup>[۲۲]</sup> لازم به ذکر است که مدل طراحی حلزونی، مقدار مساحت مقطع  $A_c$  و یا  $A_c/r_c^m$  را می‌دهد و برای استخراج ابعاد نهایی، پیش‌فرض انتخاب هندسه لازم است.

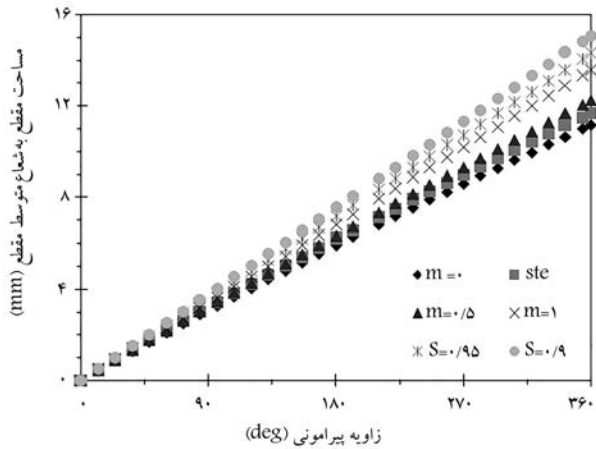
براساس مدل‌های طراحی معرفی شده، شش حالت مختلف براساس پارامترهای طراحی، برای بررسی اثر هندسه‌ی پیامونی مطابق جدول ۱ مورد بررسی قرار می‌گیرد.



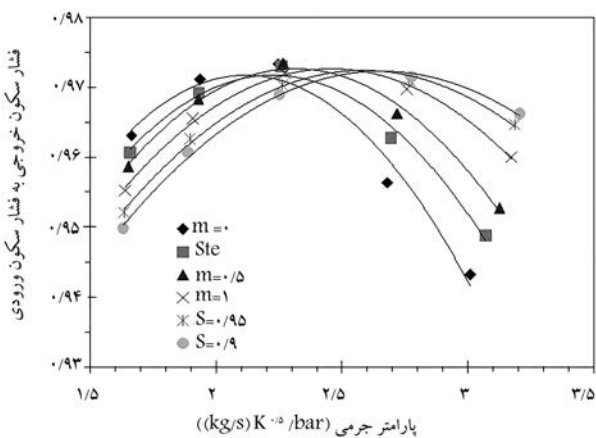
شکل ۴. شماتیک مقطع.

جدول ۱. مدل‌های مقایسه شده.

نام مدل	فرضیات ایجاد مدل	رابطه	مقادیر
$m = 0$	مدل پفلایدر را $0^\circ$	را بطه ۶	$m = 0$
Ste	مدل استپاناف	را بطه ۵	
$m = 0, 5$	مدل پفلایدر $0, 5^\circ$	را بطه ۶	
$m = 1$	مدل پفلایدر $1^\circ$	را بطه ۶	
$s = 0, 95$	مدل انحراف از گردابه آزاد با $0, 95^\circ$	را بطه ۱۹	$s = 0, 95$
$s = 0, 9$	مدل انحراف از گردابه آزاد با $0, 9^\circ$	را بطه ۱۹	$s = 0, 9$



شکل ۶. توزیع پیرامونی مساحت.



شکل ۷. مقایسه‌ی نسبت فشار بر حسب پارامتر جرمی برای مدل‌های مختلف.

مساحت پیرامونی در مدل استپانف خطی است در حالی که در سایر مدل‌ها توزیع مساحت غیرخطی است.

برای مقایسه، از نسبت فشار سکون خروجی به فشار سکون ورودی محفظه که اختصاراً «نسبت فشار» نامیده می‌شود، مطابق رابطه‌ی ۲۳ استفاده می‌شود:

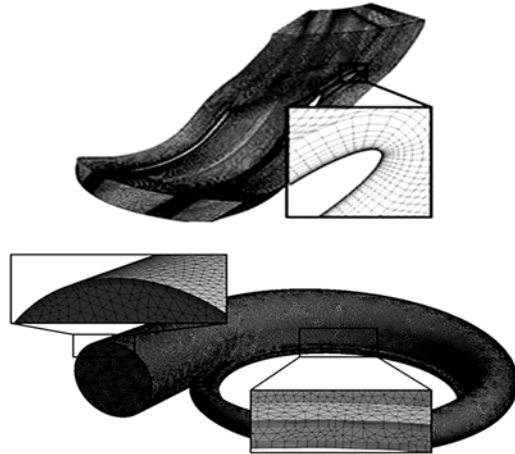
$$P_r = \frac{P_{\text{v}}}{P_{\text{t}}} \quad (23)$$

در شکل ۷ نیز نسبت فشار مدل‌های مختلف بر حسب پارامتر جرمی،  $MP$ ، مطابق رابطه‌ی ۲۴ نشان داده شده است؛ در شکل مذکور دما و فشار سکون مربوط به ورودی کمپرسور است.

$$MP = \frac{\dot{m} \sqrt{T}}{P_0} \quad (24)$$

بیشترین نسبت فشار برای مدل‌هایی که مساحت خروجی کوچک‌تری دارند (مدل‌های  $m = 0$  و  $m = 0.5$ ) در نقطه‌ی طراحی مشاهده می‌شود. با این حال مدل‌های  $S = 0.9$  و  $S = 0.95$  بیشترین نسبت فشار را در دبی‌های بالاتر دارند. بیشترین نسبت فشار در مدل  $m = 0.5$  حاصل می‌شود. این پدیده نشان می‌دهد در صورت استفاده از مدل‌هایی که مساحت خروجی بیشتری دارند، نقطه‌ی طراحی به سمت دبی‌های جرمی بالاتر جایه‌جا می‌شود.

بررسی سایر پارامترها نشان می‌دهد که تغییر در مساحت خروجی محفظه در



شکل ۵. نمونه‌ی شبکه‌بندی پروانه (بالا) و محفظه (پایین).

کنار دیواره از مدل  $w - k$  و در خارج از آن  $\epsilon - k$  از مدل استفاده می‌کند، انتخاب شد.<sup>[۲۳]</sup> براساس عدد رینولدز در ورودی پروانه، شدت آشفتگی<sup>[۱۴]</sup> محاسبه شد و تحلیل حساسیت نشان می‌دهد که مقدار ۵ درصد مناسب است.

در این مدل سازی از مدل روتور منجمد<sup>[۱۵]</sup> برای انتقال خواص جریان بین مختصات ثابت و دوار استفاده می‌شود. در این مدل، دو دستگاه مختصات طوری به یکدیگر متصل می‌شوند که هر کدام وضعیت نسبی ثابتی در محاسبات داشته باشد و معادلات حاکم در عبور ذره از مرز مشترک، در مختصات نسبی جدید حل می‌شود.<sup>[۱۶]</sup>

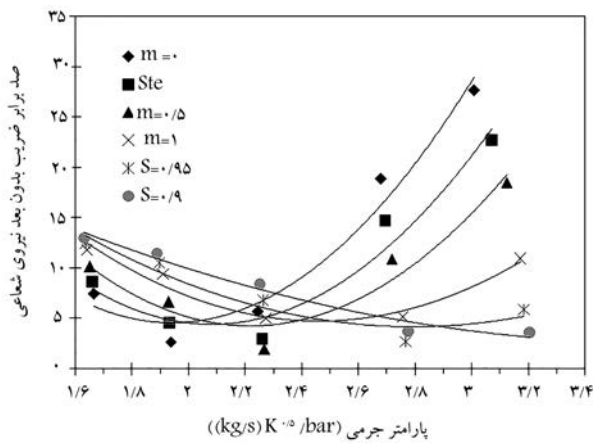
در مدل توربولنسی ازتابع اتمانیک دیواره<sup>[۱۷]</sup> — که میان توابع دیواره و فرمولاسیون‌های نزدیک دیواره<sup>[۱۸]</sup> (برای رینولدز کم) یکی را انتخاب می‌کند — استفاده می‌شود. برای پروانه مقدار<sup>[۱۹]</sup> دیواره<sup>[۱۸]</sup> از مرتبه‌ی ۱۰ تا درنهایت ۲۰ حاصل می‌شود. شرط مرزی، دبی جرمی و دمای سکون در ورودی و فشار استاتیک در خروجی در نظر گرفته می‌شود. تمامی دیواره‌ها به صورت آدیباًتیک در نظر گرفته می‌شود؛ دیواره‌های پروانه و دیفیوزر به صورت هموار<sup>[۱۹]</sup> و برای محفظه زیر متوسط ۰/۲ میلی‌متر لحاظ می‌شود. معیار همگرایی مدل برای معادلات بقا، اندازه حرکت و انرژی، یک ده‌هزار یا پنج صد‌هزار، بسته به شرایط حل، تنظیم می‌شود و فرایند حل تا جایی ادامه می‌یابد که ادامه‌ی آن بر روند همگرایی تأثیر نداشته باشد.

## ۵. نتایج مدل‌سازی

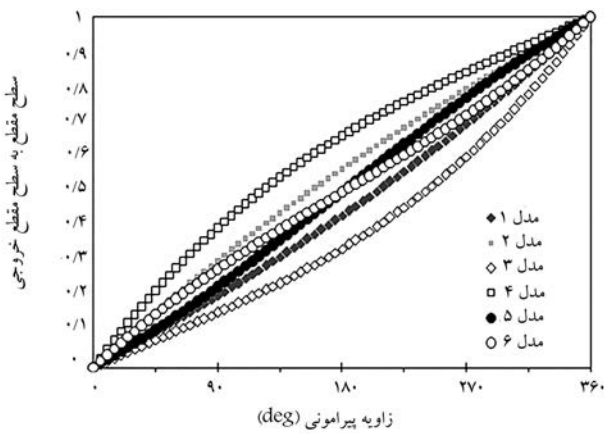
مقایسه‌ی نتایج عملکردی برای مدل‌های مختلف محفظه، منجر به انتخاب طرح بهینه به عنوان طرح نهایی برای ساخت، نصب و آزمون آن می‌شود. در ادامه، این نتایج ارائه می‌شود.

### ۵.۱. بررسی تأثیر مساحت خروجی

در شکل ۶ نسبت مساحت مقطع به شعاع متوسط مقطع برای مدل‌های مورد بررسی بر حسب زاویه‌ی پیرامونی نشان داده شده است. چنان که ملاحظه می‌شود، بیشترین مساحت مربوط به مدل  $S = 0.9$  است و مساحت انتهایی آن ۴۰ درصد بزرگ‌تر از کوچک‌ترین مساحت خروجی در مدل  $m = 0$  است. همچنین مساحت انتهایی مدل  $m = 24$  درصد بزرگ‌تر از مدل  $m = 0$  است. لازم به ذکر است توزیع



شکل ۸. ضریب بدون بعد نیروی شعاعی در مدل های مختلف.



شکل ۹. مدل های در نظر گرفته شده برای بررسی توزیع مساحت.

جدول ۳. بررسی تأثیر توزیع مساحت پیرامونی بر عملکرد.

$K_r(m=0.5)$	$K_p$	$C_p$	$P_r$	مدل ها
درصد تغییرات				
۲/۳۱	۶,۶۴	-۱۶,۵	-۰,۷۰۷	۱ مدل
۲/۲۲	۶,۵۵	-۱۶,۰	-۰,۷۰۶	۲ مدل
۴,۳۵	۴۴,۳۳	-۲۸,۵۶	-۱,۸۵	۳ مدل
۲,۳۸	۴۳,۰۶	-۲۹,۳	-۱,۸۱	۴ مدل
۱,۰۸	۶,۹۳	-۱۵,۹	-۰,۷۲	۵ مدل
۰,۲۵	۱۴,۱۸	-۱۸,۲۴	-۰,۹۵	۶ مدل
۰,۶	۹,۳	-۱۶,۸	-۰,۷۹	مدل خطی

کمترین نیرو را نشان می دهد و می تواند نیرو را تا یک چهارم تقلیل دهد. نتایج مدل ۶ در سایر دبهی های جرمی نیز نشان از کاهش نیرو و بیشینه افت فشار، ۱ درصد دارد. بنابراین می توان در طراحی کپرسورهای با نسبت فشار بالا از این مدل استفاده کرد.

### ۳.۵. مخروط خروجی

مخروط خروجی در انتهای بخش حلقه ای، مانند یک دیفیوزر است با این تفاوت که جریان درون آن چرخشی و نامنظم است. در طراحی دیفیوزرهای مخروطی (شکل ۱۰)، از طول و شعاع مقطع خروجی با زاویه بارشندگی به عنوان پارامترهای

نقطه ای طراحی منجر به تغییر ۱ درصدی در نسبت فشار، ۱۴ درصد در ضریب بازیابی فشار، و ۱۸ درصد در ضریب افت فشار سکون می شود. محفظه به دلیل شکل ظاهریش باعث غیر یکنواختی فشار پیرامونی و در نتیجه یک نیروی شعاعی خالص بر پروانه می شود. برای بیان این نیرو می توان از ضریب بدون بعد نیروی شعاعی،  $K_r$  مطابق رابطه ای استفاده کرد:<sup>[۲۲]</sup>

$$K_r = \frac{F_r}{P_{\text{c}} d_{\text{c}} b_{\text{c}}} \quad (25)$$

که در آن،  $F_r$  نیروی خالص شعاعی وارد بر پروانه ناشی از غیر یکنواختی فشار است؛  $d_{\text{c}}$  و  $b_{\text{c}}$  نیز به ترتیب عرض و قطر خروجی دیفیوزر هستند. در شکل ۸، ضریب بدون بعد نیروی شعاعی در مدل های مختلف مقایسه شده است.

نتایج حاصله نشان می دهد که برای مدل هایی که مساحت کمتری دارند، تغییرات نیرو شدیدتر است. برای مدل ۰، این ضریب در دبهی جرمی زیاد تا ۵ برابر مقدار کمینه آن تغییر می کند، درحالی که برای مدل ۱ این مقدار حدود ۲/۵ برابر است. در نقطه ای طراحی، مقادیر نیروها برای این دو مدل مشابه اند. بررسی نتایج مدل های با مساحت بزرگ تر نشان می دهد که در دبهی کم نیرو بیشتر است و با افزایش دبهی این نیرو کاهش می یابد.

### ۲.۵. بررسی تأثیر توزیع مساحت پیرامونی

برای بررسی اثر توزیع مساحت پیرامونی بر عملکرد محفظه، تغییرات توزیع مساحت پیرامونی با ثابت نگه داشتن مساحت خروجی صورت می گیرد. به جز مدل استپانف که در آن از زاویه ۰ تا ۲π رادیان توزیع مساحت پیرامونی خطی است، در سایر مدل ها توزیع مساحت غیرخطی است. شش مدل مختلف با مساحت انتهایی برابر و توزیع مساحت های مختلف مطابق شکل ۹ در نظر گرفته می شود. اصطلاح «توزیع مساحت محدب» به مدلی اطلاق می شود که مساحت مقطع در زاویه های کم بیشتر از مقداری است که در طراحی آن به دست آمده است. در توزیع مساحت مقرر نیز این مساحت ها بیشتر از مقدار طراحی هستند. مطابق این تعریف، در شکل ۹ مدل های ۱ و ۳ مکعب و مدل های ۲ و ۴ محدب اند. مدل ۵ تا زاویه ۵ تا زاویه ۶ مکعب و سپس محدب محسوب می شود؛ مدل ۶ نیز تا زاویه π محدب و از آن به بعد مکعب است. همچنین توزیع خطی مساحت از زاویه صفر تا خروجی نیز با عنوان مدل خطی بررسی می شود.

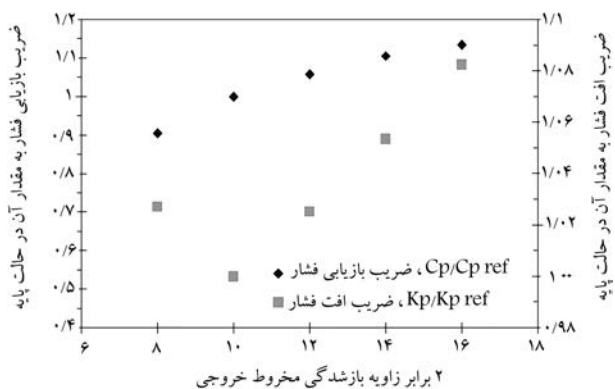
معیار مقایسه ای مدل ها، پارامترهای نسبت فشار (رابطه ۲۳)، ضریب بدون بعد نیروی شعاعی (رابطه ۲۵)، و همچنین ضریب بازیابی فشار استاتیک و ضریب افت فشار سکون هستند که به ترتیب مطابق روابط ۲۶ و ۲۷ تعریف می شوند.

$$C_p = \frac{P_5 - P_4}{P_{\text{c}} - P_4} \quad (26)$$

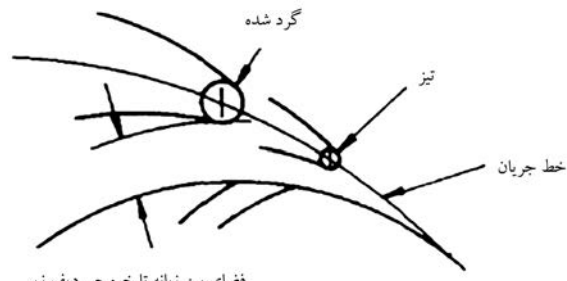
$$K_p = \frac{P_5 - P_4}{P_{\text{c}} - P_4} \quad (27)$$

در جدول ۳ درصد تغییرات عملکرد مدل ها در مقایسه با عملکرد مدل پلايدر را با  $m=0$  (به عنوان مدل پایه) و نسبت ضریب نیرو گزارش شده است. مقادیر نشان می دهد که در مدل های ۳ و ۴ بیشترین افت فشار وجود دارد و تمامی پارامترها نشان از عملکرد نامناسب این دو مدل دارد. در مدل ۳ مساحت کم در نظر گرفته شده برای زاویه کوچک منجر به انسداد جریان، و در مدل ۴ مساحت زیاد در نظر گرفته شده منجر به درهم ریختگی جریان و افزایش تلفات می شود.

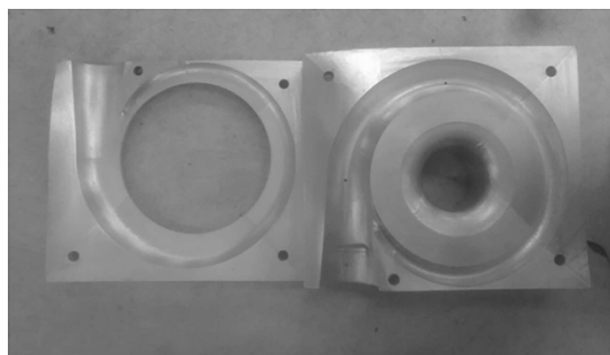
مدل های ۱، ۲، ۵ و مدل خطی عملکرد مشابه دارند، اگرچه نیروی محاسبه شده در مدل ۵ تقریباً با مدل پایه برابر است ولی مدل خطی ۶ همان نیرو را دارد. مدل ۶



شکل ۱۱. تأثیر تغییر زاویه مخروط خروجی بر ضرایب بازیابی فشار و افت فشار.



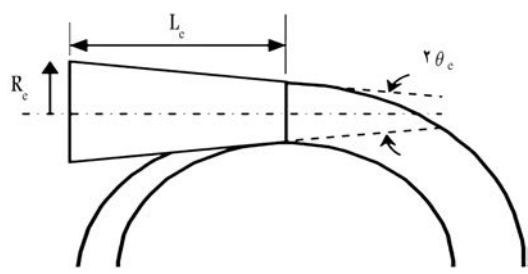
شکل ۱۲. شکل زبانه.<sup>[۲۶]</sup>



شکل ۱۳. دو قسمت ساخته شده محفظه.

## ۶. ساخت

برای ساخت محفظه با استفاده از روش تراشکاری و ماشین سه محور، محفظه به دو تکه تقسیم و صفحه‌ی جدایش طوری طراحی شد که منحنی‌های موجود در هر دو سمت، شبیه منفی<sup>[۲۱]</sup> نداشته باشند. بدین منظور از یک رویه‌ی سه بعدی برای جدایش استفاده شد. روش ساخت به شکل برازه‌برداری از دو بلوك آلومینیوم آلبیزی سری ۷۰۰۰ است. بلوك‌های تراش خورده در شکل ۱۳ مشاهده می‌شود. دو قطعه‌ی تراش خورده توسط پیچ‌های راهنما و نگهدارنده به یکدیگر متصل شد و توسط چسب مقاوم در برابر حرارت آب بندی شد. ورودی محفظه و خروجی آن نیز به صورت قطعات جداگانه در نظر گرفته شد. این قطعات از استوانه‌های آلومینیومی تراشیده شدند و به ترتیب توسط انطباق محکم و پیچ روی محفظه نصب شد. در شکل ۱۴ محفظه‌ی جدید نصب شده بر بستر آزمون ملاحظه می‌شود که روی آن بلموس<sup>[۲۲]</sup>، دورسنج و حسنگر فشار نصب شده است.



شکل ۱۵. پارامترهای هندسی مخروط خروجی.

طراحی استفاده می‌شود. در برخی موارد بنا به کاربرد کمپرسور، قیودی برای طرح محفظه وجود دارد، مانند طول دیفیوزر یا قطر انتهایی. در این مطالعه قید طول دیفیوزر به عنوان قید طراحی در نظر گرفته می‌شود و با استفاده از تغییر زاویه مخروطی دیفیوزر،  $\theta_c$ ، مدل‌های مختلف بررسی می‌شود.

پنج مدل مختلف با استفاده از مدل پایه ( $m = 0, 5, 10, 20, 40$ ) برای مقادیر  $2, 6, 5, 4$  درجه زاویه  $\theta_c$  مقایسه می‌شود. نتایج حاصله نشان می‌دهد که این تغییرات کمتر از نیم درصد تغییر در نسبت فشار کل را سبب می‌شود، با این حال بیشترین نسبت فشار برای زاویه ۵ درجه رخ می‌دهد. مقادیر ضریب بازیابی و ضریب افت فشار برای محدوده‌ی فوق الذکر زاویه  $\theta_c$ ، با استفاده از مقدار آنها در مدل ۵ درجه به عنوان مدل پایه، بی بعد شده است (شکل ۱۱). بر این اساس، ضریب بازیابی فشار با افزایش زاویه مخروط افزایش می‌یابد در حالی که ضریب افت فشار در ۵ درجه کمترین است.

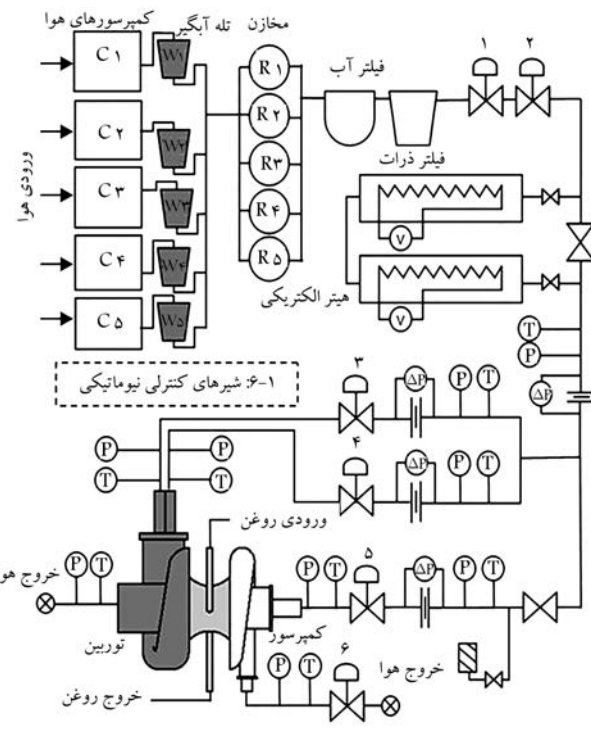
## ۴.۵. ملاحظات زبانه‌ی محفظه‌ی کمپرسور

اطلاعات کمی در رابطه با طراحی زبانه در محفظه‌ی کمپرسورها وجود دارد و این موضوع در محفظه‌های نامتقارن نیز مورد توجه قرار نگرفته است.<sup>[۱۵, ۱۶]</sup> در اغلب پیپ‌ها، پس از پروانه محفظه قرار می‌گیرد لذا فاصله‌ی بین زبانه و پروانه پارامتر تأثیرگذاری است و کم بودن آن موجب افزایش ارتعاش و صدا می‌شود. معمولاً این فاصله ۵ تا ۱۰ درصد قطر پروانه در نظر گرفته می‌شود.<sup>[۲۶]</sup>

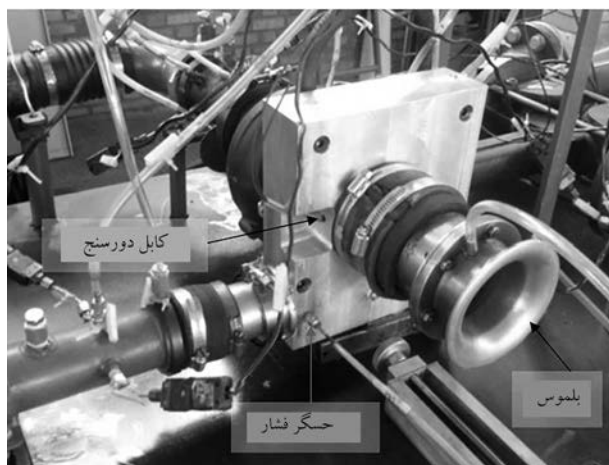
با توجه به روش ساخت، نوک زبانه می‌تواند مطابق شکل ۱۲ تیز یا گرد و در راستای خط جریان بالا دست باشد. زبانه‌ی گرد، قابلیت انعطاف بیشتری در نقاط غیر از نقطه‌ی طراحی دارد.<sup>[۲۶]</sup> در محفظه‌های نامتقارن کمپرسور، هنگامی که بخش حلقه‌نی طراحی می‌شود، زبانه محل برخورد حلقه‌نی و مخروط خروجی است و زاویه‌ی آن نسبت به راستای عمود بر مخروط خروجی، زاویه‌ی شروع نامیده می‌شود. نتایج مدل سازی نشان می‌دهد با افزایش زاویه شروع، افت فشار سکون تا ۷ درصد افزایش می‌یابد و بازیابی فشار نیز ۲ درصد کاهش می‌یابد. بنابراین افزایش زاویه شروع زبانه در جهت بهتر شدن عملکرد محفظه نخواهد بود. با افزایش زاویه شروع زبانه، مقدار جریان برگشتی از این ناحیه به درون محفظه بیشتر می‌شود؛ بدین معنا که سیالی که یک بار حول محفظه چرخیده، به جای خروج از مخروط خروجی دوباره به درون محفظه بازمی‌گردد و این باعث افت بیشتر انرژی می‌شود.

## ۵. طرح بهینه

با توجه به مدل‌های مورد بررسی، محفظه‌ی بهینه با استفاده از مدل  $m = 0, 5$  که در آن  $\theta_c = 5^\circ$  انتخاب شده و محل زبانه‌ی آن نقاطع هندسی حلقه‌نی، دیواره و مخروط خروجی است و غیرتیز اختیار شده، برای ساخت انتخاب شد.



شکل ۱۵. طرح واره بستر آزمون.



شکل ۱۴. محفظه‌ی ساخته شده و نصب شده بر کمپرسور روی بستر آزمون.

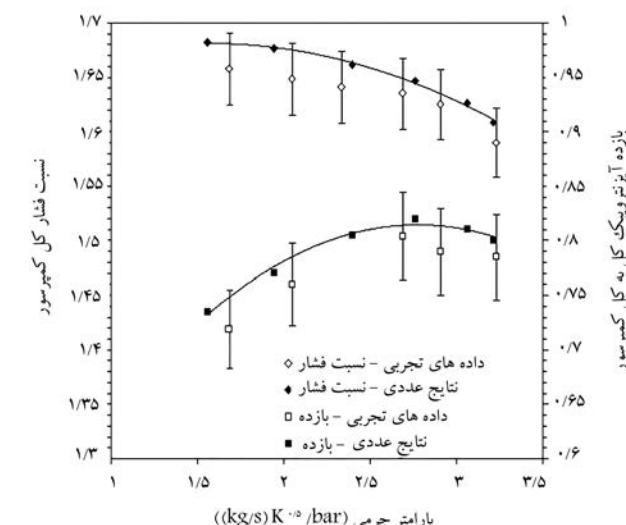
## ۷. آزمون تجربی

مطالعات تجربی در بستر آزمون توربوماشین‌گاه توربوماشین‌گاه از ملکر دانشگاه صنعتی شریف صورت می‌پذیرد. در این آزمایشگاه به منظور انجام آزمایش‌های عملکردی توربوماشین‌گاه از روش شبیه‌سازی رفتار توربین با استفاده از هوای متراکم استفاده می‌شود. هوای فشرده از دو مجرای قابل تنظیم وارد توربین شده و پس از انبساط در توربین به بیرون تخلیه می‌شود. توربین توان لازم برای کمپرسور را تأمین کرده و کمپرسور با مکش هوای محیط آن را متراکم می‌کند. برای اندازه‌گیری مقادیر مختلف فشار، دبی و دما، تجهیزات اندازه‌گیری در ورودی و خروجی کمپرسور و توربین نصب شده است.<sup>[۲۷]</sup>

دما توسط ترموموکوبیل‌های نوع جی ۲۴ در ورودی و خروجی کمپرسور اندازه‌گیری می‌شود. فشارهای کل توسط لوله پیوت و فشارهای استاتیک مجاراهایی که در جدار لوله ایجاد شده اندازه‌گیری می‌شوند. لوله‌های پیوت و سوراخ‌های فشار استاتیک به سیستم اندازه‌گیری فشار وصل می‌شوند و فشار با استفاده از ترانسیستورهای فشار ۲۵ اندازه‌گیری می‌شود. در ایستگاه اندازه‌گیری دبی کمپرسور امکان استفاده از بلموس یا اریفیس وجود دارد و برای سنجش دور از یک دورسنج نوری مادون قرمز ۲۶ استفاده می‌شود. طرح واره بستر آزمون در شکل ۱۵ ملاحظه می‌شود.<sup>[۱۶]</sup> اعتبارسنجی مدل عددی از طریق مقایسه نتایج عددی با نتایج آزمایشگاهی برای مقادیر منتج از آزمون‌های عملکردی، مقادیر افت فشار اجزا – شامل پروانه، دیفیوزر و محفظه – و همچنین برای مقادیر فشار پیرامونی محفظه، در پژوهشی دیگر از همین نویسندها انجام شده است.<sup>[۱۸]</sup> در این پژوهش، اعتبارسنجی نتایج عددی برای مدل ساخته شده نهایی از طریق مقایسه نتایج عملکردی آن با نتایج آزمون ارائه می‌شود.

آزمون‌های عملکردی محفظه‌ی جدید، در سرعت‌های دورانی ۴۰، ۵۰، ۶۰، ۷۰ و ۷۵ هزار دور بر دقیقه صورت گرفت. مقایسه‌ی نتایج مدل سازی عددی و نتایج حاصل از آزمون نمونه ساخته شده در سرعت دورانی ۷۰ هزار دور بر دقیقه مطابق شکل ۱۶ است. نسبت فشار کل و بازده آیزنترویک کل به کل کمپرسور بر حسب پارامتر جرمی، مطابق روابط ۲۸ و ۲۹ محاسبه شده است. محدوده‌ی خطای نسبت فشار ۲ ± درصد نشان داده است و برای بازده این مقدار ۵ ± درصد است.

$$P_{rt} = \frac{P_{out}}{P_{in}} \quad (28)$$



شکل ۱۶. منحنی نسبت فشار و بازده بر حسب پارامتر جرمی کمپرسور ۱۰ هزار دور بر دقیقه).

$$\eta_{it} = \frac{P_{rt}^{\frac{\gamma-1}{\gamma}} - 1}{\frac{T_{out}}{T_{in}} - 1} \quad (29)$$

انحراف نتایج عددی از نتایج تجربی برای نسبت فشار محدود به مقدار ۱/۵ درصد و در نقطه‌ی بیشترین بازده معادل ۱ درصد است؛ این مقادیر برای بازده به ترتیب ۴ درصد و ۱/۴ درصد است.

علل انحراف نتایج مدل سازی نسبت به نتایج آزمون را می‌توان مواردی از قبلی انحراف مدل از هندسه‌ی واقعی، تأثیرات نشیتی بین اجزا و انتقال حرارت سیستم که در مدل سازی در نظر گرفته نمی‌شود و وجود خطاهای منظم و تصادفی ۲۷ در نتایج آزمایشگاهی دانست.<sup>[۲۹]</sup>

بنابراین بر مبنای نتایج مدل‌سازی، مدل پلاسیدر با پارامتر طراحی  $0,5/0,5$ ، مخروط خروجی با  $10^\circ$  درجه بازشدنگی و زبانه‌ی گردشده انتخاب، و با ملاحظاتی که پیش‌تر تشریح شد، ساخته شد. محفظه ساخته شده بر روی بستر آزمون نصب شد و آزمایش‌های عملکردی بر روی آن انجام گرفت. طرح نهایی نسبت به طرح اولیه دارای عملکرد بهتری است که یکی از دلایل آن خارجی بودن محفظه‌ی آن است. نتایج تجربی در سرعت دورانی  $70$  هزار دور بر دقیقه حدود  $2/5$  درصد بهبود نسبت فشار و  $1/9$  درصد افزایش را در بازده نشان می‌دهد و نتایج مدل‌سازی  $3/0$  درصد بهبود را برای بازده پیش‌بینی می‌کند.

## فهرست علائم

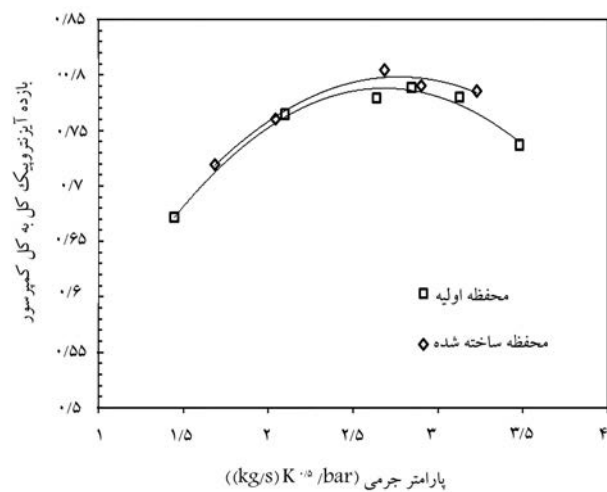
- $A$ : سطح مقطع ( $m^2$ );
- $b$ : عرض مجرأ ( $m$ );
- $C$ : سرعت ( $ms^{-1}$ );
- $C_p$ : ضریب بازیابی فشار سکون؛
- $C_{\theta c, 2\pi}$ : سرعت مماسی در مقطع خروجی حلزونی ( $ms^{-1}$ );
- $F_r$ : نیروی خالص شعاعی وارد بر پروانه؛
- $h$ : آنتالپی ( $kJ.kg^{-1}.K^{-1}$ );
- $H$ : هد سیال ( $m$ );
- $K_p$ : ضریب افت فشار سکون؛
- $K_r$ : ضریب بدون بعد نیروی شعاعی؛
- $K_s$ : ضریب ثابت مدل استپانف؛
- $m$ : دمی جرمی ( $kg.s^{-1}$ );
- $M$ : عدد ماخ؛
- $MP$ : پارامتر جرمی ( $kg.s^{-1}.bar^{-1}.K^{-0,5}$ );
- $P$ : فشار ( $bar$ );
- $P_r$ : نسبت فشار سکون در محفظه؛
- $r$ : شعاع نسبت به محور ماشین ( $m$ );
- $s$ : مسیر طی شده توسط ذره در محفظه ( $m$ );
- $S$ : ضریب تصحیح در مدل گردابه آزاد؛
- $SP$ : پارامتر اندازه؛
- $T$ : دما ( $K$ ).

## علایم یونانی

- $\eta$ : بازده؛
- $\theta$ : زاویه پیرامونی (رادیان)؛
- $\rho$ : چگالی ( $kg.m^{-3}$ ).

## زیرنویس‌ها

- $^o$ : خاصیت سکون؛
- $c$ : مرکز سطح؛
- $i$ : آیزنتروپیک؛
- $in$ : ورودی کمپرسور؛



شکل ۱۷. مقایسه‌ی نتایج تجربی دو محفظه براساس بازده برحسب پارامتر جرمی  $70$  هزار دور بر دقیقه.

محفظه‌ی ساخته شده یک محفظه‌ی خارجی است در حالی که محفظه‌ی قبلی یک محفظه‌ی نیمه‌خارجی است. مقایسه‌ی عملکرد این دو محفظه، در سرعت دورانی  $70$  هزار دور بر دقیقه، در شکل ۱۷ نشان داده شده است. نتایج نشان می‌دهد که در نقطه‌ی بیشترین بازده در حدود  $1/9$  درصد بهبود بازده حاصل شده است. مقایسه‌ی نتایج مدل‌سازی عددی مقدار بهبود بازده را در همین شرایط عملکردی، حدود  $3$  درصد پیش‌بینی می‌کند.

## ۸. نتیجه‌گیری

برای طراحی بهینه‌ی محفظه، روش‌های مختلف طراحی مورد بررسی قرار گرفت و توسعه یافت. گرچه این مدل‌ها عمدتاً برای پیپ‌های گریز از مرکز توسعه یافته‌اند، از همه‌ی مدل‌های موجود در این زمینه استفاده شد. هدف اصلی طراحی محفظه، یافتن الگویی مناسب برای شکل و مساحت مقاطع پیرامونی محفظه است. بدین منظور، طرح‌های استپانف، پلاسیدر، مدل گردابه آزاد، مدل چگالی متغیر و مدل اصطکاکی مورد بررسی قرار گرفت. بر مبنای این مدل‌ها طرح‌های مختلف محفظه به منظور بررسی نسبت فشار کل، بازیابی فشار استاتیک، افت فشار سکون و نیروی خالص شعاعی ایجاد شده توسط محفظه مدل‌سازی شد و نتایج ارزیابی شد.

نتایج حاصله نشان می‌دهد که تغییر قابل توجه مساحت خروجی در شرایط طراحی، تأثیر کمی بر نسبت فشار کل کمپرسور می‌گذارد و با این وجود  $40$  درصد تغییر در مساحت خروجی موجب  $14$  درصد تغییر در بازیابی فشار و  $18$  درصد تغییر در افت فشار سکون در نقطه طراحی می‌شود و مقدار نیروی خالص شعاعی را تا دو برابر افزایش می‌دهد. از طرفی در شرایط غیر از نقطه‌ی طراحی نتایج کاملاً تغییر می‌کند و عملکرد برخی مدل‌ها نسبت به مدل‌های دیگر برتری دارد. مدل پلاسیدر با پارامتر طراحی  $0,5$  بهترین عملکرد را در نقطه‌ی طراحی نشان می‌دهد و همچنین نتایج قابل قبولی در نقاط خارج طرح دارد. همچنین توزیع مساحت پیرامونی و تأثیر آن بر عملکرد کمپرسور در کنار ملاحظات طراحی مخروط خروجی و زبانه مورد بررسی قرار گرفت.

$out$ : خروجی کمپرسور؛  
 $r$ : مؤلفه شعاعی؛  
 $t$ : مربوط به کل کمپرسور؛  
 $\theta$ : مؤلفه محاسی.

## تقدیر و تشکر

نویسندهان تحقیق از حمایت‌های قطب تبدیل انرژی دانشگاه صنعتی شریف و از همکاری پرسنل آزمایشگاه توربوماشینر دانشگاه صنعتی شریف کمال تشکر را دارند.

## پابوشت‌ها

1. volute
2. computational fluid dynamic (CFD)
3. collector
4. scroll or spiral
5. exit cone
6. tongue
7. grid
8. structured
9. unstructured
10. mesh independency
11. interface
12. reynolds averaged navier-stokes equations (RANS equations)
13. shear stress transport (SST)
14. turbulence intensity
15. frozen rotor
16. automatic wall function
17. low reynolds near wall formulation
18. wall Y plus
19. smooth wall
20. sand-grain roughness
21. under cut
22. aluminum alloys 7000 series (zinc dominant alloy) based on (ANSI) standard H35.1
23. bell-mouth
24. J-type
25. pressure transmitter
26. infrared
27. systematic & random errors

## منابع (References)

1. Mojaddam, M., Benisi, A.H. and Movahhedy, M.R. "Investigation on effect of centrifugal compressor volute cross-section shape on performance and flow field", in *Proceeding of ASME Turbo Expo 2012*, pp. 871-880 (2012).
2. Sorokes, J.M., Borer, C.J. and Koch, J.M. "Investigation of the circumferential static pressure non-uniformity caused by a centrifugal compressor discharge volute", in *Proceeding of ASME Turbo Expo 1998*, Paper No. GT-98-326 (1998).
3. Qiang, X., Teng, J. and Du, Z. "Influence of various volute designs on volute overall performance", *Journal of Thermal Science*, **19**(6), pp. 505-513 (2010).
4. Van den Braembussche, R. and Hande, B. "Experimental and theoretical study of the swirling flow in centrifugal compressor volutes", *Journal of Turbomachinery*, **112**(1), pp. 38-43 (1990).
5. Ayder, E., Van den Braembussche, R. and Brasz, J. "Experimental and theoretical analysis of the flow in a centrifugal compressor volute", in *Proceeding of ASME Turbo Expo 1992*, Paper No. 92-GT-030 (1992).
6. Zheng, X., Huenteler, J., Yang, M., Zhang, Y. and Bamba, T. "Influence of the volute on the flow in a centrifugal compressor of a high-pressure ratio turbocharger", *Proceedings of the Institution of Mechanical Engineers, Part A: Journal of Power and Energy*, **224**(8), pp. 1157-1169 (2010).
7. Ayder, E. and Van den Braembussche, R. "Numerical analysis of the three-dimensional swirling flow in centrifugal compressor volutes", *Journal of Turbomachinery*, **116**(3), pp. 462-468 (1994).
8. Van den Braembussche, R., Engeda, A., Keiper, R. and Rautenberg, M. "Experimental and numerical investigation of the flow in a centrifugal compressor volute", *Journal of Turbomachinery*, **122**, pp. 21-31 (2000).
9. Dai, Y., Engeda, A., Cave, M. and Di Liberti, J. "A flow field study of the interaction between a centrifugal compressor impeller and two different volutes", *Proceedings of the Institution of Mechanical Engineers, Part C: Journal of Mechanical Engineering Science*, **224**(2), pp. 345-356 (2010).
10. Kim, S., Park, J., Ahn, K. and Baek, J. "Improvement of the performance of a centrifugal compressor by modifying the volute inlet", *Journal of Fluids Engineering*, **132**(9), pp. 091101 (2010).
11. Xu, C. and Müller, M. "Development and design of a centrifugal compressor volute", *International Journal of Rotating machinery*, **2005**(3), pp. 190-196 (2005).
12. Aleimi, H., Nourbakhsh, S.A., Raisee, M. and Najafi, A.F. "Effects of volute curvature on performance of a low specific-speed centrifugal pump at design and off-design conditions", *Journal of Turbomachinery*, **137**(4), pp. (41009)1-10 (2015).
13. Mojaddam, M., Hajilouy-Benisi, A. and Movahhedy, M. "Experimental and numerical investigation of radial flow compressor volute shape effects in characteristics and circumferential pressure non-uniformity", *Scientia Iranica. Transaction B Mechanical Engineering*, **20**(6), pp. 1753-1764 (2013).
14. Mojaddam, M., Hajilouy Benisi, A. and Movahhedy, M.R. "Optimal design of the volute for a turbocharger radial flow compressor", *Proceedings of the Institution*

- of Mechanical Engineers, Part G: Journal of Aerospace*, **229**(6), pp. 993-1002 (2015).
15. Lobanoff, V.S. and Ross, R.R., *Centrifugal Pumps Design and Application*, Houston: Gulf Publishing Company (1985).
  16. Mojaddam, M. "Centrifugal compressor volute design & performance optimization with experimental validation", PhD Thesis, Department of Mechanical Engineering, Sharif University of Technology, Tehran (In Persian) (2014).
  17. Cumpsty, N.A., *Compressor Aerodynamics*, Longman Scientific & Technical (1989).
  18. Cohen, H., Rogers, G.F.C. and Saravanamuttoo, H.I.H., *Gas Turbine Theory*, London: Longman (1996).
  19. Balachandran, P., *Fundamentals of Compressible Fluid Dynamics*, PHI Learning Pvt. Ltd. (2006).
  20. Aungier, R.H., *Centrifugal Compressors: A Strategy for Aerodynamic Design and Analysis*, ASME press New York, USA (2000).
  21. Japikse, D., *Centrifugal Compressor Design and Performance*, Wilder, VT: Concepts ETI Inc. (1996).
  22. Yahya, S., *Turbines, Compressors and Fans*, Tata McGraw-Hill Education (1987).
  23. Nili-Ahmabadabi, M., Hajilouy-Benisi, A., Durali, M. and Ghadak, F. "Investigation of a centrifugal compressor and study of the area ratio and TIP clearance effects on performance", *Journal of Thermal Science*, **17**(4), pp. 314-323 (2008).
  24. Nourbakhsh, A., Jaumotte, A., Hirsch, C. and Parizi, H.B., *Turbopumps and Pumping Systems*, Springer Science & Business Media (2007).
  25. Xu, C. and Amano, R. "Investigation of the flow in centrifugal compressor volute", in *Proceeding of ASME TurboExpo 2008*, pp. 751-765 (2008).
  26. Turton, R.K., *Principles of Turbomachinery*, Springer Science & Business Media (2012).
  27. Hajilouy-Benisi, A., Rad, M. and Shahhosseini, M. "Empirical assessment of the performance characteristics in turbocharger turbine and compressor", *Experimental Techniques*, **34**(3), pp. 54-67 (2010).
  28. Mojaddam, M., Hajilouy-Benisi, A., Mousavi, A., Movahhedy, M.R. and Durali, M. "Experimental and numerical investigations of radial flow compressor component losses", *Journal of Mechanical Science and Technology*, **28**(6), pp. 2189-2196 (2014).
  29. ASME Standard for Test Uncertainty, PTC-19.1, American Society of Mechanical Engineers Publication (2005).